

討 12 極低炭素高張力鋼

富士製鉄 中央研究所 工博 金沢正午 三波建市
・鈴木信一 今野敬治

I. 緒言

鋼の脆性破壊におよぼす因子は非常に複雑であるが、冶金学的大きれば鋼の化学成分あるいは組織の影響が大きい。

鋼の組織と強度との関連をみると、フェライト・パライト、焼成したマルテンサイト等はすべて地鉄中に炭化物が分散した model へ單純化出来ると考えられる。すなわち、これら組織の相違は地鉄の結晶粒度および炭化物の形、大きさ、分布等がそれそれ異なりこれに相当する。

これと同じようく鋼の脆性破壊を論じる場合にも地鉄そのものの韌性とその中に分散した炭化物(一般的には微粒子)の影響とわけて考えることが出来るとであろう、このように組織を model 化するとともによって相反する鋼の強度と低温韌性とを融合することができ、そこで地鉄の脆性破壊におよぼす微粒子の色々な作用を考えてみたところ次のよう次列記できる。

- 1) 微粒子が硬く割れやすいときはそれが crack 源となる。⁽¹⁾
- 2) 微粒子が硬く地鉄との結合力が弱いときは微粒子の周りに空孔ができる、それが crack となる。⁽²⁾
- 3) 微粒子が軟かく、比較的大きいときはそれが crack を停止させる。⁽³⁾
- 4) 微粒子が硬く、比較的大きくて密に分布するときはすべり線が短くなり、集積する軸位の数が少く集中応力は小さい、そのため crack ができる。⁽⁴⁾
- 5) 微粒子が軸位の発生源となるときは crack 先端で応力緩和が起りやすく、crack の伝播を妨げる。⁽⁵⁾
- 6) 微粒子の周りに大きな応力場があるときはそれ、crack 先端の応力がかかると crack の伝播を促進する。

以上の色々な場合の個々についてもそれはお延長があるけれども、微粒子の硬さ、大きさ、分散度によつては地鉄の韌性を良くする場合も悪くする場合もあるので、これらを総合的に判定することはむづかしい。しかし鋼の中にある Fe₃C や非金属介在物は硬くて脆く、しかも概して大きいので 1) の理由によって鋼の韌性を悪い影響をおよぼすこととは明らかである。^(6,7)

本報告は鋼の脆性破壊を金属組織的と機械的とあたって、地鉄と微粒子との関連と調べるために都合のよい脆性破壊試験法および実際の Fe₃C を減らした実用化鋼開発の成果について述べる。

II. 小型試験法

実際の構造物の脆性破壊は鋼材あるいは施工上の欠陥から crack が発生し伝播するとして起る。構造物の設計基準からして破壊するときの平均応力は降伏点の数分の一であるはずである。したがって事故で起る構造物の破壊を再現するため試験方法色々を要因と付加することなく、低荷重下で破壊するとしてある。このような観点から大型試験では二重引張り及び滑刃欠試験法等が用いられていて。しかし、先述べたような鋼の韌性からよす組織の影響を調べるためにいちばん大型試験を行ふことはできない。一般的には低温引張試験によつて論じられけれどもこの場合は平均応力が降伏点に近い所で破壊するため、局部的には塑性変形してしまつた後の破壊を調べることとなる。特に微粒子近傍ではその傾向が強いので、実際の低荷重下で破壊するときの微粒子の影響とは異なるものであろう。

そこで、大型試験で用いられている二重引張試験なども実験室向きに小型化した。これらの試験法を図 1 に示す。このように小型化しても低荷重下で単純な破壊ができるかどうかを調べた結果試験法をかぎり低温にすれば降伏応力の 1/3 から 1/10 の応力をで单纯な破壊をすることがわかつた。

小型二重引張の試験法は一様温度型の "go or no go" 試験である。ある温度、ある荷重下で応力部に導入された crack がその停止するか通過するか調べべる。小型深切欠試験はひびきを温度に冷却して引張り、破壊する。そしてある温度における破壊荷重と脆性破面率を求める。破壊荷重は試験温度の低下と共に上昇するが、ある温度を境いで降下する。この臨界温度からひびきは 100% の劈開破面を示すようになる。したがって、この温度は 100% 脆性破壊が移行する一種の遷移温度である。

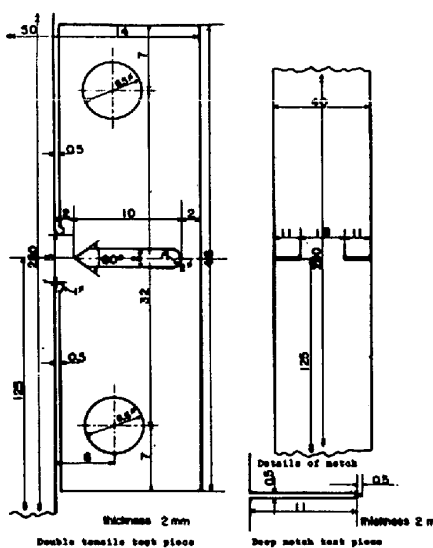


図1 試験片の形状と寸法

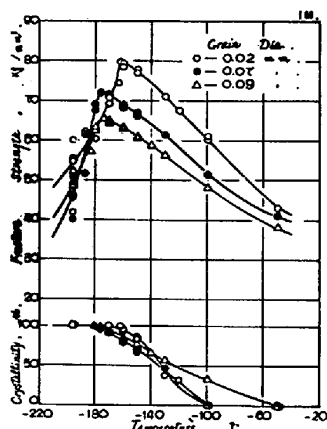


図2 小型深切欠引張試験結果。

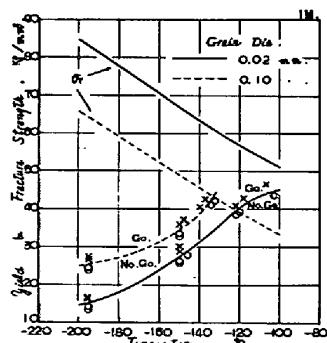


図3 小型二重引張試験結果。

図2 および図3は Fe-0.13Mn 合金 (0.005% C) の小型二重引張試験による深切欠による試験結果である。低温では小型二重引張試験によって低荷重で破壊することわかる。しかも特徴的なることは降伏応力とは反対に結晶粒径の大きい方が小さいものより破壊強度が大きいことである。またこれは小型深切欠試験による遷移温度以下での破壊強度にも同様の結果がみられる。遷移温度は結晶粒径の大きい方が高い。

Fe-Mn 合金の小型試験法による結果の一例であるが、フェライト結晶粒径の影響の大きさことがわかる。フェライト結晶粒径 D と低温破壊強度 σ_f および遷移温度 T_c の間にはそれぞれ次のような関係が成立す。

（1）同一様応力の鋼材中にそれと直角に長さ 2C の crack が存在すると、その crack 先端における塑性域の大きさは次式で与えられる事が知られている。⁽⁸⁾

$$\rho = C \left\{ \sec \left(\frac{\pi}{2} \frac{D}{\sigma_y} \right) - 1 \right\} \dots \textcircled{1}$$

σ_y は降伏応力
 $D < \sigma_y$ であるから、次の様に近似できる。
 $\rho = \frac{\pi^2}{8} C \left(\frac{D}{\sigma_y} \right)^2 \dots \textcircled{2}$

この ρ がより限界の大きさ P_C に達すると劈開破壊が起ると考えられる。すなはち塑性域の拡がりとともに crack 先端は大きな集中圧が起るので、その近傍に転位模型で示されるような crack の核が発生し、核発生の連鎖反応によって劈開破壊が進行すると考えらる。その時のひびきの破壊強度 σ_f は次式であらわされる。

$$\sigma_f / \sigma_y = \frac{2\sqrt{2}}{\pi} \sqrt{\frac{P_C}{C}} \dots \textcircled{3}$$

一方、crack 先端の塑性域は結晶粒径 D が大きい程広いので、次のように関係式を改定する。
 $P_C = \alpha D$ α 定数 $\dots \textcircled{4}$

したがって、
 $\sigma_f / \sigma_y = \frac{2\sqrt{2}}{\pi} \sqrt{\alpha D / C} \dots \textcircled{5}$

この式は破壊強度と結晶粒径との関係を示している。図4は Fe-Mn 合金の小型二重引張試験による破壊強度と⑤式へしたがって整理したもののである。また小型深切欠試験で求められた遷移温度と結晶粒径の関係は一般によく知られている。 $T_c = A - BD^{-\frac{1}{2}}$ で整理できる。

以上はフェライト一相の単純な場合について述べたのであるが、

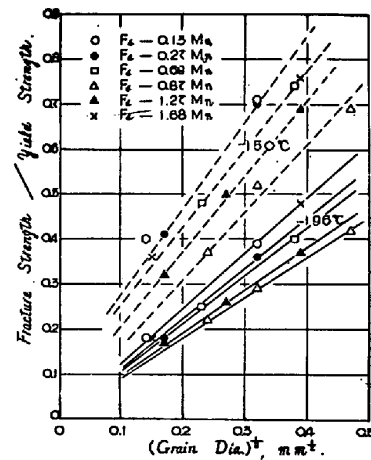


図4 小型二重引張試験による破壊強度と結晶粒径との関係。

エライト中の Fe_3C 等の微粒子が存在する場合の2. 3. の例を示す。写真1は $Fe-1.0Mn-1.5Si$ 合金、0.005% C のものと、溶炭して Fe_3C を球状化した鋼の小型二重引張試験片より破壊状況を示したものである。 Fe_3C の多い場合のCrackは単純であるが、 Fe_3C が多いとCrackの枝割れが多く複雑な破壊をしている。又K 0.17% C, 0.48% Si, 1.44% Mn, 0.30% Cu, 0.04% Nb, 0.52% V, 0.018% sol. Alの実用鋼



写真1. $Fe-1.0Mn-1.5Si$ 合金の溶炭前後試料
の-196°Cにおける破壊状況

表1. 実用鋼の溶炭前後の引張性質及び破壊強度

処理	C%	20°C		-196°C		G.D	0.5% (G.D)
		OB	O ₂	O _f	O _g		
溶炭前	0.17	53	39	32	5	8μ	0.65
溶炭後	0.02	38	23	35	13	44μ	0.96

破壊強度を表2に示す。これは地鉄中の軟かい微粒子を分散した一例である。1.0% Cuが入っていると、

表2. $Fe-1.5Si-1.0Mn-1.0Cu$ 合金の引張性質、破壊強度

処理	15°C		-196°C		0.5%	G.D
	OB	O ₂	E	O _f		
as Q	49	34	34	18	0.26	40μ
400°C T	52	38	33	27	0.38	40μ
550°C T	61	49	26	11	0.13	40μ
700°C T	47	38	33	5	0.07	40μ

金の強度が最も高くCuの析出状態と低温脆性が最もなる析出状態とは異なるようである。光浮頭微鏡的にはCuの析出物も析出前後の破壊強度の差も認められないで光浮頭微鏡以上の微観的るもののが影響しているとの考え方られる。

III 低温用極低炭素高張力鋼

最近、carbonを0.02~0.07%の極低炭素とした高張力鋼の問題がBISRAのいわゆる“pearlite reduced steel”的表記と契機として注目されつつある。この鋼の考え方とはcarbonを極端に低くして高張力鋼の低温脆性と接続性を基本的に改善することであるが、著者らもこれと同じ考え方があり以前から持ち、すでに述べたように鋼の脆性破壊から地鉄とPearliteとの関連を研究して来た。結晶粒の大きさを一定にして場合、Pearlite量が2~3%以下になると急速に遷移温度が下るとの報告されている。問題はこのよりCarbon量を少くした場合、如何にして強度を出すかということがある。

Duchworthらはこの“pearlite reduced steel”にNb, V等を添加して圧延の上温及ぼす効果⁽¹⁰⁾、またIraniらは同じくNb, V等を添加した鋼を圧延後、そのまま焼入焼成してNb, Vの炭化物の析出硬化⁽¹¹⁾、強度とかなりの韌性を示している。本報告はこれらの方法と異なり圧延後再加熱Kより焼入焼成を行って、フェライトにわずかのpearliteが残存する組織とし、Nb Kより細粒化とV Kより析出硬化、あるいはMn, Cr, Vより固溶強化Kより強度と韌性を手に入れるものである。表3は500kgの電気炉で溶製した試作鋼の化学成分である。この成分は0.03~0.05% C, 1.3% Mn, 0.3% Si, をbase、Nbを0.03~0.12%, Vを0.03%~0.11%の範囲で単独あるいは複合に添加し小鋼塊による試験結果を示す。500kgの鋼塊は25mmの板に鍛造し、焼

入焼戻しを行った。熱处理は各鋼とも $930^{\circ}\text{C}-1\text{hr}$ 加熱後焼入し、 570°C , 600°C , 630°C の各温度で一時間焼戻した。 $600^{\circ}\text{C}-1\text{hr}$ 焼戻して各鋼の組織を写真2に示す。これでわかるように Nb-Cr が 0.06%

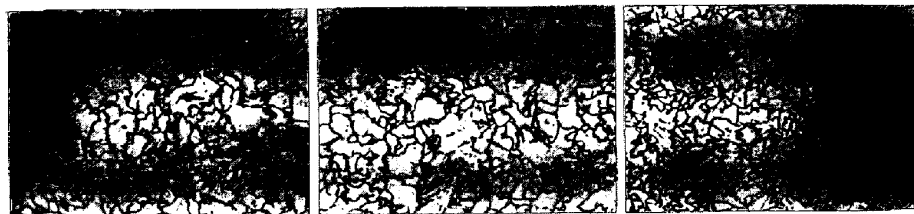
 Nb-Cr Nb-V Nb-Mn 写真2. 各鋼の焼入焼戻し組織 ($\times 400$)

表3. 試作鋼の化学成分

Steel	C	Si	Mn	P	S	Cr	V	Nb	Al sol.
A	0.055	0.39	1.28	0.008	0.017	0.63	—	0.035	0.030
B	0.059	0.31	1.36	0.006	0.016	—	0.035	0.036	0.032
C	0.055	0.28	1.85	0.009	0.020	—	—	0.029	0.043

表4. 各鋼の引張諸性質

Steel	Q.T. ($^{\circ}\text{C}$)	T.T. ($^{\circ}\text{C}$)	T.S. (kg/mm 2)	Y.P. (kg/mm 2)	E.I. (%)	R.A. (%)
(A) Nb-Cr	930	570	54.8	46.8	33.7	79.4
		600	53.2	45.5	38.1	79.4
		630	52.7	44.7	38.8	79.1
	930	570	52.3	45.0	39.6	80.4
		600	52.3	45.2	39.0	79.4
		630	51.5	45.3	40.0	79.8
(B) Nb-V	930	570	52.0	45.1	40.1	80.0
		600	51.7	45.0	39.8	79.5
		630	51.9	45.4	40.3	80.3
	930	570	51.5	43.6	37.5	78.6
		600	51.3	43.4	39.7	78.6
		630	51.6	46.5	38.3	80.2
(C) Mn-Nb	930	570	52.0	46.4	38.6	79.4
		600	51.6	46.2	38.6	80.0
		630	51.2	46.2	39.5	79.8
	930	570	51.9	47.5	38.9	79.4
		600	51.3	47.2	38.2	80.4
		630	51.6	46.5	38.3	80.2

溶接性はよい。これらの各鋼種を標準条件下で手溶接した継手部の引張試験、側曲げならびにシャルピー試験を行った結果、継手部の降伏強度は 44 kg/mm^2 あり、すべて母材で破断している。側曲げも問題ない。継手部の低温度性は bond でも溶着鋼と同じ衝撃値を示している。 -40°C で 10 kg-m の吸収エネルギーは優れていた。

IV 結言

本研究は小型試験法による破壊強度の解析あるいは金属組織学的観察から鋼の強度ならびに低温度性と地鉄とその中に分散する微粒子との組合せによって、相反する二つの面性質の融合を計ろうとしたものである。

図5. 各鋼の遷移曲線。しかし、これはあくまでも光学顕微鏡的観察での考え方であるから、シート組織的観察方向へ発展させなければならないであろう。ここで述べた小型試験法は現実に起る破壊状況を再現する簡便な方法である。したがって、低荷重下で、かなりの速さで進んでいる crack と結晶界面あるいは微粒子等との相互作用を調べるために都合がよい。しかし、ここで得られた破壊強度と crack 先端の塑性歪、加工硬化度、粒子間隔等との関連は今後の問題である。※特許出願中

文献

- JISI, 202 (1964), 899.
- Trans. AIME, 239 (1967), 668.
- JISI, 206 (1968), 79.
- C. Zener: "Fracturing of metals", (1948), Cleveland, ASM.
- Trans. ASM, 56 (1963), 442.
- Acta Met., 13 (1965), 591.
- Trans. ASM, 49 (1957), 189.
- Proc. Roy. Soc., A 272 (1963), 304.
- Nuclear Structural Eng., 2 (1965), 92.
- JISI, 204 (1966), 1108.
- JISI, 204 (1966), 702.